

© 1994 г.

БАЛЛИСТИЧЕСКАЯ ИНЖЕКЦИЯ ЭЛЕКТРОНОВ С ОТРИЦАТЕЛЬНЫМИ ЭФФЕКТИВНЫМИ МАССАМИ

З. С. Грибников, А. Н. Коршак

Институт физики полупроводников Академии наук Украины,
252650, Киев, Украина

(Получена 15 февраля 1994 г. Принята к печати 16 марта 1994 г.)

Показано, что ограниченный пространственным зарядом баллистический ток электронов, для которых закон дисперсии содержит интервал с отрицательными эффективными массами, насыщается на протяженном промежуточном участке напряжений, причем рост напряжения (при неизменном токе) на этом участке связан с возникновением и расширением второй области пространственного заряда, располагающейся у анода. Пространство между двумя областями пространственного заряда — прикатодной и прианодной — занято квазинейтральной областью, в которой ионный заряд скомпенсирован зарядом пролетающих электронов с отрицательной эффективной массой. С дальнейшим ростом напряжения образуется прианодный квазинейтральный слой, в котором электроны имеют положительную массу, и этот слой быстро вытесняет предыдущий.

Обращено внимание на конвективную неустойчивость однородного распределения концентрации пролетных электронов в диапазоне их отрицательных эффективных масс.

1. Данная статья является прямым продолжением и развитием предыдущей работы [1], посвященной баллистическому транспорту электронов со сложными законами дисперсии $\varepsilon(p)$, включающими участки отрицательных эффективных масс (ОЭМ). В отличие от [1], здесь не рассматривается генезис подобных законов, зависимости $\varepsilon(p)$ предполагаются исходно заданными. Отметим лишь, что предполагаемые нами законы дисперсии с участками ОЭМ могут быть не только гетероструктурного происхождения. Хорошо известны [2] подобные зависимости $\varepsilon(k)$ в дырочных полупроводниках, одноосно-деформированных в произвольных направлениях (исключая некоторые). Более свежий пример подобного закона предлагается в работе [3] для электронов в частично упорядоченных сплавах типа InGaP. Также предполагается обоснованным и квазиклассический подход.

Будет показано, что статическая вольт-амперная характеристика (ВАХ) баллистического $n^+ - n - n^+$ -диода с участком ОЭМ при промежуточных значениях квазимпульса электронов p имеет вид кривой, изображенной сплошной линией на рис. 1. Характер ВАХ существенно

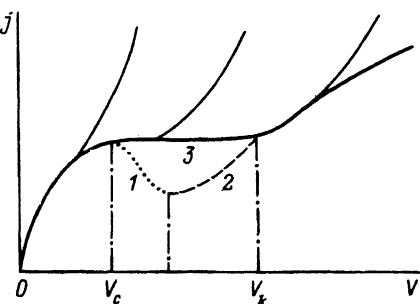


Рис. 1. Качественный вид ВАХ длинного баллистического диода с ОЭМ (толстая сплошная линия) и более коротких диодов (тонкие линии).

Точечной и штриховой линиями показаны нереализуемые участки ВАХ из работы [1].

отличен в интервале напряжений (V_c, V_k) от предсказанного в работе [1]. В [1] утверждалось отсутствие стационарного решения только на ниспадающей ветви 1 ВАХ (рис. 1, точечная кривая). Нетрудно показать, что по аналогичной причине подобное решение отсутствует и на восходящем участке 2 (рис. 1, штриховая линия), т.е. весь участок между V_c и V_k неадекватен реальной картине.

Здесь будет построено стационарное решение, отвечающее горизонтальному (или близкому к горизонтальному) участку 3. Это решение, в отличие от решений из [1], содержит две протяженные области пространственного заряда (ОПЗ) — прикатодную и прианодную, разделенные широким квазинейтральным слоем, в котором положительный донорный заряд скомпенсирован зарядом пролетающих электронов с ОЭМ (ОЭМ-электронов), т.е. большая часть пролетного пространства диода содержит только эти электроны. На выходе из горизонтального участка на вторую восходящую ветвь (т.е. при $V \approx V_k$) прианодный слой пространственного заряда отделяется от анода и быстро с ростом тока перемещается в сторону катода, разделяя квазинейтральную область на две части — внутреннюю (с ОЭМ-электронами) и прианодную (в которой подвижные электроны имеют тяжелую положительную массу). Это перемещение заканчивается слиянием двух ОПЗ и ликвидацией квазинейтральной области с ОЭМ-электронами — последние теперь играют второстепенную роль при формировании единой ОПЗ. Итак ВАХ четко разделилась на три участка:

1) начальный (в интервале $(0, V_c)$), где квазинейтральная область целиком сформирована легкими электронами, с малой положительной эффективной массой, предполагаемой при малых значениях p ;

2) конечный (в интервале (V_k, ∞)), где квазинейтральная область сформирована пролетающими тяжелыми электронами, с большой, но также положительной эффективной массой, предполагаемой при больших p , и квазиравновесными легкими электронами;

3) промежуточный (в интервале (V_c, V_k)), где квазинейтральная область сформирована, как отмечалось выше, электронами с ОЭМ. Качественное построение такой ВАХ описано далее в разделе 2.

Наибольший интерес вызывает интервал напряжений (V_c, V_k) , где имеет место столб квазинейтральной плазмы с ОЭМ-электронами. Вопрос об устойчивости стационарного режима в этом интервале рассмотрен далее в разделе 3. Определенный интерес представляет также интервал напряжений $V > V_k$, где квазинейтральная область сформирована электронами с различными массами — тяжелыми пролетаю-

щими и легкими квазиравновесными. Свойства такого диода должны быть несколько отличными от свойств диодов с постоянной массой, рассматривавшихся ранее в работах [4,5].

2. Стационарное распределение поля, потенциала и концентрации электронов в баллистическом $n^+ - n - n^+$ -диоде находим из уравнений

$$\frac{1}{e} \kappa \frac{dE}{dx} = n - n_0, \quad (1)$$

$$n = n_1 + n_2, \quad (2)$$

$$j = v(p)n_1, \quad (3)$$

$$\frac{v(p)}{e} \frac{dp}{dx} = E, \quad (4)$$

где $E = E(x)$ — взятая с обратным знаком напряженность электрического поля (так что $E(x) = dV/dx$, $V(x)$ — электростатический потенциал); j — поток пролетающих электронов; $v(p) = d\varepsilon(p)/dp$ — групповая скорость пролетающих с катода на анод (и не отражающихся на аноде) электронов, концентрация которых равна n_1 ; концентрация n_1 меньше полной электронной концентрации n на величину n_2 — концентрацию электронов, находящихся в равновесии с анодным резервуаром электронов; n_0 — предполагаемая постоянной концентрация положительно заряженных доноров; κ — диэлектрическая проницаемость; e — абсолютная величина заряда электрона.

Естественно, что величина n_2 существенна только при достаточно малом прианодном изменении потенциала (по сравнению с равновесным распределением). Поэтому появление заметной прианодной ОПЗ и прианодного падения напряжения, значительно превышающего kT/e , делает величину n_2 во всем пространстве практически нулевой. В дальнейшем рассмотрении не учитываются электроны, находящиеся в равновесии с катодным тепловым резервуаром, т.е. принято приближение эффективного катода:

$$p(0) = 0, \quad E(0) = 0, \quad V(0) = 0. \quad (5)$$

Поделив уравнение (1) на (4) и проинтегрировав с учетом (3) при $n_2 = 0$, имеем

$$\frac{\kappa}{2n_0} E^2 = \lambda p - \varepsilon(p) + C, \quad (6)$$

где $\lambda = j/n_0$, C — постоянная интегрирования, равная нулю, если это интегрирование начинается на эффективном катоде.

На рис. 2 изображена зависимость $\varepsilon(p)$ с участками положительных эффективных масс при малых и больших p и промежуточным участком ОЭМ. Кроме этого там показаны зависимости λp для различных λ . Одна из этих прямых (прямая 1), касающаяся $\varepsilon(p)$ на участке ОЭМ, соответствует некоторому критическому значению $\lambda = \lambda_c$. При $\lambda < \lambda_c$ правая часть (6) (для $C = 0$) непрерывно положительна только при $p < p(\lambda) < p_c$, где $p(\lambda)$ определяется точкой пересечения прямой λp и $\varepsilon(p)$, т.е.

$$\lambda p(\lambda) = \varepsilon[p(\lambda)]. \quad (6a)$$

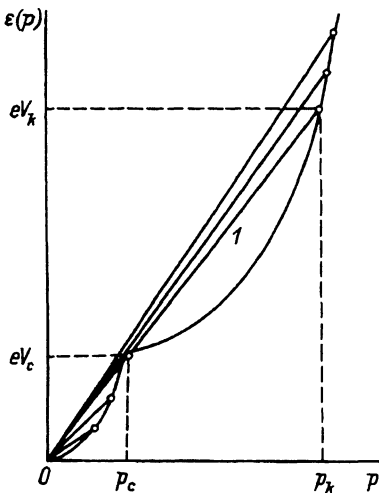


Рис. 2. Предполагаемая зависимость $\varepsilon(p)$ с участком ОЭМ и прямые λp (для разных λ).

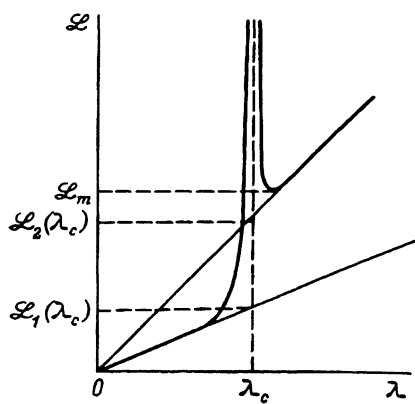


Рис. 3. Схематическая зависимость $L(\lambda)$.

Только в этом интервале p уравнение (6) определяет некоторое положительное значение E^2 .

В зависимости от длины l базы $n^+ - n - n^+$ -диода при заданном значении λ имеются две возможности. Если

$$l < \mathcal{L}[p(\lambda), \lambda] \equiv \mathcal{L}(\lambda), \quad (7)$$

где

$$\mathcal{L}(p, \lambda) = \frac{1}{e} \left\{ \frac{\kappa}{2n_0} \right\}^{\frac{1}{2}} \int_0^p \frac{v(p') dp'}{\sqrt{\lambda p' - \varepsilon(p')}}, \quad (8)$$

то ВАХ образца определяется уравнениями

$$V(\lambda) = \frac{1}{e} \varepsilon(p_l), \quad l = \mathcal{L}(p_l, \lambda). \quad (9)$$

Если

$$l > \mathcal{L}[p(\lambda), \lambda] \equiv \mathcal{L}(\lambda), \quad (10)$$

то

$$V(\lambda) = \frac{1}{e} \varepsilon[p(\lambda)] \equiv \frac{1}{e} \varepsilon(\lambda). \quad (11)$$

При выполнении условия (7) образец настолько короток (при заданной λ), что в нем не помещается квазинейтральный слой. Наоборот, при выполнении противоположного условия (10) длина образца достаточна для образования около анода квазинейтральной области. В этой области, которая условно обозначена кружком на рис. 2, концентрация n_2 отлична от нуля и равна

$$n_2 = n_0 \left(1 - \frac{\lambda}{v[p(\lambda)]} \right), \quad (12)$$

причем, как видно из рис. 2, при $\lambda < \lambda_c$ на всем участке $p(\lambda) < p_c$ имеем $\lambda < v[p(\lambda)]$, т.е. $n_2 > 0$. Изменение концентрации n_2 с током регулируется малыми изменениями потенциала на анодном $n-n^+$ -переходе, не вносящими заметный вклад в ВАХ.

При $\lambda > \lambda_c$ правая часть (6) (для $C = 0$) непрерывно положительна при $p < p(\lambda)$, причем величина $p(\lambda)$ всегда превышает p_k . Здесь также в зависимости от того, выполняется ли условие (7) или условие (10), ВАХ определяется формулой (9) или формулой (11) соответственно. В случае, если выполнено условие (10) и справедлива формула (11), при $\lambda > \lambda_c$ также существует квазинейтральная область, изображенная кружком на $\varepsilon(p)$ (рис. 2), в которой $n_2 > 0$ и также дается формулой (12).

Из вышесказанного следует, что первая проблема при анализе вида ВАХ состоит в оценке величины $\mathcal{L}(\lambda)$, определяемой формулами (7) и (8). Для этого надлежит ввести некоторую конкретизацию закона $\varepsilon(p)$. Как и в [1] полагаем, что при $p \ll p_c$ этот закон имеет вид

$$\varepsilon(p) = \frac{p^2}{2m}, \quad (13)$$

где m — уже упоминавшаяся малая эффективная масса, а при $p \gg p_c$ закон (13) сменяется зависимостью

$$\varepsilon(p) = \varepsilon_0 + \frac{p^2}{2M}, \quad (14)$$

где $M > 2m$ — большая эффективная масса. Кроме зависимостей (13) и (14) для нас существенно поведение $\varepsilon(p)$ непосредственно в окрестности точки $p = p_c$, которое представим в виде

$$\varepsilon(p) = \varepsilon_c + v_c(p - p_c) - \frac{(p - p_c)^2}{2m_c}, \quad (15)$$

где $\varepsilon_c = \varepsilon(p_c) = \lambda_c p_c$, $v_c = v(p_c) = \lambda_c$, а m_c — величина отрицательной эффективной массы, вычисляемая в точке $p = p_c$.

Зависимость $\mathcal{L}(\lambda)$, вычисленная в пределах справедливости (13), т.е. при малых p , имеет вид

$$\mathcal{L}(\lambda) = \frac{\pi}{e} \left(\frac{m\kappa}{n_0} \right)^{\frac{1}{2}} \lambda, \quad (16)$$

так что заряженный двойной слой расширяется с ростом тока пропорционально λ . Можно предположить, что с приближением λ к λ_c снизу размер этого слоя стремится к некоторому пределу порядка

$$\mathcal{L}_1(\lambda_c) \simeq \frac{\pi}{e} \left(\frac{m\kappa}{n_0} \right)^{\frac{1}{2}} \lambda_c. \quad (17)$$

Зависимость $\mathcal{L}(\lambda)$, вычисленная при $p(\lambda) > p_k \gg p_c$, имеет вид (16) с заменой в правой части малой массы m на большую массу M . При

стремлении λ сверху к λ_c можно предположить, что размер слоя стремится к

$$\mathcal{L}_2(\lambda_c) \simeq \frac{\pi}{\epsilon} \left(\frac{M \kappa}{n_0} \right)^{\frac{1}{2}} \lambda_c + \mathcal{L}_1(\lambda_c). \quad (18)$$

При $p(\lambda)$, приближающейся к p_c снизу или к p_k сверху, формула (16) и ее аналог с массой M становятся несправедливыми из-за доминирующего вклада области с отрицательными массами. Вводя

$$\delta\lambda = \lambda - \lambda_c \quad (19)$$

и используя приближение (15), получим при $\delta\lambda < 0$ (т.е. при стремлении $p(\lambda)$ к p_c снизу)

$$\mathcal{L}(\delta\lambda) = \mathcal{L}_1(\lambda_c) - \frac{1}{\epsilon} \left(\frac{m_c \kappa}{n_0} \right)^{\frac{1}{2}} \frac{\lambda_c}{2} \ln \left(\frac{|\delta\lambda|}{\lambda_c} \right), \quad (20)$$

где $\mathcal{L}_1(\lambda_c)$ чисто оценочно дается формулой (17). Аналогичная формула для $\delta\lambda > 0$ (т.е. при стремлении $p(\lambda)$ к p_k сверху) имеет вид

$$\mathcal{L}(\delta\lambda) = \mathcal{L}_2(\lambda_c) - \frac{1}{\epsilon} \left(\frac{m_c \kappa}{n_0} \right)^{\frac{1}{2}} \lambda_c \ln \left(\frac{\delta\lambda}{\lambda_c} \right), \quad (21)$$

где $\mathcal{L}_2(\lambda_c)$ оценочно представлена формулой (18); отметим, что логарифмическая добавка в правой части (21) вдвое больше, чем в (20).

На рис. 3 схематически представлена зависимость $\mathcal{L}(\lambda)$, полученная с помощью приведенных выше приближений и рассуждений. Она представлена двумя ветвями, уходящими в бесконечность при $\lambda \rightarrow \lambda_c$. На правой ветви существует некоторое минимальное значение \mathcal{L}_m , которое при оценках мы не будем отличать от $\mathcal{L}_2(\lambda_c)$.

Диоды, в которых база короче \mathcal{L}_m , имеют квазинейтральную пригодную область только при достаточно малых токах $\lambda < \lambda(l) < \lambda_c$. Более длинные диоды с $l > \mathcal{L}_m$ имеют квазинейтральный слой в двух токовых диапазонах, разделенных токовым интервалом около $\lambda = \lambda_c$, в котором этого слоя нет.

Рассмотрим вначале случай длинных образцов, $l > \mathcal{L}_m$, и предположим, что импульс p_l лежит в пределах узкого слоя около p_c , где справедлива зависимость (15). Тогда имеем из (9)

$$\frac{p_c - p_l}{p_c} = \left(\frac{m_c \lambda_c}{2 p_c} \right)^{\frac{1}{2}} \left\{ \exp \left(-\frac{l - \mathcal{L}_1}{l_c} \right) - \frac{\delta\lambda}{\lambda_c} \exp \left(\frac{l - \mathcal{L}_1}{l_c} \right) \right\}, \quad (22)$$

где $\mathcal{L}_1 = \mathcal{L}_1(\lambda_c)$, а $l_c = (\lambda_c/e)(m_c \kappa / n_0)^{1/2}$. При

$$\delta\lambda = -\lambda_c \exp \left(-2 \frac{l - \mathcal{L}_1}{l_c} \right) \quad (23)$$

длина l равна $\mathcal{L}(\delta\lambda)$ из формулы (20), а величина p_l становится равной $p(\lambda)$. При

$$\delta\lambda = \lambda_c \exp \left(-2 \frac{l - \mathcal{L}_1}{l_c} \right) \quad (24)$$

согласно (22) имеем $p_l = p_c$, т.е. в образцах конечной длины значение p_c на аноде достигается не при $\delta\lambda = 0$, а при несколько больших, чем λ_c , значениях λ . С дальнейшим ростом $\delta\lambda$ превышение p_l над p_c быстро увеличивается и выходит за рамки справедливости формулы (22). В этих рассуждениях предполагается выполнение условия

$$\exp\left(-2\frac{l - \mathcal{L}_1}{l_c}\right) \ll 1. \quad (25)$$

Если речь идет об оговоренных выше длинах $l > \mathcal{L}_m$, то согласно (18) необходимо, чтобы с некоторым запасом выполнялось

$$2\pi \left(\frac{M}{m_c}\right)^{\frac{1}{2}} > 1. \quad (25a)$$

При выполнении условия (25) увеличение напряжения на диоде происходит практически при неизменном токе $\lambda \simeq \lambda_c$. Малый прирост $\delta\lambda$ с ростом $V(\lambda)$ можно получить, используя уравнение

$$l \simeq \mathcal{L}_2(\lambda_c) - l_c \ln \frac{\delta\lambda}{\lambda_c} - \frac{1}{e} \left(\frac{\kappa}{2n_0}\right)^{\frac{1}{2}} \int_{p_l}^{p_k} \frac{v(p) dp}{\sqrt{\lambda p - \varepsilon(p)}}, \quad (26)$$

где p_l определяется через $V(\lambda)$ первой из формул (9), а в качестве $\varepsilon(p)$ в (9) и (26) можно использовать выражение (14). Из (26) следует

$$\delta\lambda = \lambda_c \exp\left(-\frac{l - \mathcal{L}_2(\lambda_c, p_l)}{l_c}\right), \quad (27)$$

где

$$\mathcal{L}_2(\lambda_c, p_l) = \mathcal{L}_2(\lambda_c) - \frac{1}{e} \left(\frac{\kappa}{2n_0}\right)^{\frac{1}{2}} \int_{p_l}^{p_k} \frac{v(p) dp}{\sqrt{\lambda p - \varepsilon(p)}}. \quad (28)$$

Интеграл из правой части (28) равен

$$\int_{p_l}^{p_k} \frac{v(p) dp}{\sqrt{\lambda p - \varepsilon(p)}} = \lambda_c M \left(\frac{\pi}{2} + \arcsin \frac{\lambda_c M - p_l}{\sqrt{\lambda_c^2 M^2 - 2\varepsilon_0 M}} \right) - \frac{1}{2} \sqrt{2\lambda_c M p_l - 2\varepsilon_0 M - p_l^2} \simeq \lambda_c M \left(\pi - \frac{3}{2} \sqrt{2\lambda_c M p_l - 2\varepsilon_0 M} \right). \quad (28a)$$

Последнее выражение в формуле (28a) справедливо при малых значениях p_l , $p_l \ll p_k$. Из формулы (28) следует постепенный рост длины $\mathcal{L}_2(\lambda_c, p_c)$ с ростом p_l от значения, близкого к нулевому при $p_l \simeq p_c$, до $\mathcal{L}_2(\lambda_c)$ при $p_l = p_k$. Постепенное сокращение разности $l - \mathcal{L}_2(\lambda_c, p_l)$ приводит к росту $\delta\lambda$. До тех пор пока эта разность не становится близкой к l_c , величина $\delta\lambda$ экспоненциально мала, так что все изменение напряжения от V_c до V_k происходит при практически насыщенном

токе. Однако степень этого насыщения согласно формуле (27) тем выше, чем больше длина $l - \mathcal{L}_2(\lambda_c)$, т.е. чем длиннее образец. Естественно, что это утверждение не имеет абсолютного смысла, поскольку удлинение образца приведет к ослаблению баллистического эффекта, т.е. к потерям импульса и энергии во время пролета.

Изменение напряжения в интервале (V_c, V_k) сопряжено с изменением эффективного размера второй ОПЗ, возникающей возле анода. Этот размер равен $\mathcal{L}_2(\lambda_c, p_l) - \mathcal{L}_1(\lambda_c)$. Все пространство между первой ОПЗ (с толщиной $\mathcal{L}_1(\lambda_c)$) и второй, т.е. слой с толщиной $l - \mathcal{L}_2(\lambda_c, p_l)$ занят практически квазинейтральным слоем электронов с импульсом, близким к p_c , т.е. ОЭМ-электронов. При достижении напряжения V_k между второй ОПЗ и анодом возникает квазинейтральный слой, в котором электроны движутся с импульсом p_k . Появление этого слоя приводит к модификации формулы (27), и она приобретает вид

$$\delta\lambda = \lambda_c \exp\left(-\frac{l - \mathcal{L}_2(\lambda_c) - \mathcal{L}_3}{l_c}\right), \quad (29)$$

где \mathcal{L}_3 — толщина появившегося нейтрального слоя. Чем этот слой толще, тем больше $\delta\lambda$ и тем тоньше квазинейтральный слой с ОЭМ-электронами. Таким образом, участок роста тока, сменяющий при $V > V_k$ участок его насыщения, — это участок расширения прианодного нейтрального слоя за счет сужения слоя с ОЭМ-электронами. Рост тока вызывает рост напряжения на каждой из постепенно сближающихся ОПЗ. О слиянии этих областей можно говорить, когда $\mathcal{L}_3 \approx l - \mathcal{L}_2(\lambda)$ или когда $\delta\lambda \approx \lambda_c$, т.е. при увеличении тока на величину порядка λ_c . Из сказанного следует, что в области $V \geq V_k$ быстрое изменение \mathcal{L}_3 происходит при весьма малых изменениях V и λ . После ликвидации области с ОЭМ-электронами и слияния двух ОПЗ расширение прианодного квазинейтрального слоя заканчивается и дальнейший рост V и λ сопровождается его сужением вплоть до полной ликвидации за счет роста единой ОПЗ.

В случае более коротких образцов с

$$\mathcal{L}_1(\lambda_c) < l < \mathcal{L}_2(\lambda_c) \sim \mathcal{L}_m$$

при небольшом превышении p_l над p_c продолжает оставаться справедливой формула (27); различие между этим случаем и предыдущим состоит в том, что величина $l - \mathcal{L}_2(\lambda_c, p_l)$ приближается к 0 до приближения p_l к p_k , т.е. до образования прианодного квазинейтрального слоя. Рост тока и сокращение области с ОЭМ-электронами начинается с некоторого значения $V(l)$ происходит без образования новой квазинейтральной области. Чем короче диод, тем короче участок насыщения тока на ВАХ. Полная ликвидация рудимента этого участка имеет место при $l < \mathcal{L}_1(\lambda_c)$. На рис. 1 кроме ВАХ «очень» длинного диода (толстая линия) изображен ряд ВАХ (тонкие линии), соответствующих более коротким образцам (тем более коротким, чем меньшие напряжения отвечают одному и тому же току).

Все построенные выше характеристики отвечают граничному условию (5), которое в свою очередь основано на предположении об идеальном $n^+ - n$ -катоде. При переходе к катодам другого типа возможны

другие граничные условия. Например, наличие в правой части положительной (и зависящей от λ) константы интегрирования $C(\lambda)$ делает доступным образование квазинейтральных областей с параметрами, соответствующими недоступной ветви между p_c и p_k на рис. 2.

3. Главным результатом предыдущего раздела является утверждение о существовании в некотором интервале напряжений (в интервале (V_c, V_k) для диодов с $l > L_2(\lambda_c)$ и в более коротких интервалах для диодов с $L_2(\lambda_c) > l > L_1(\lambda_c)$) квазинейтрального слоя (столба), образуемого электронами с ОЭМ, летящими со скоростью $v_c = \lambda_c$ из прикатодной ОПЗ в прианодную. Возникает проблема устойчивости распределения электронов в указанных диапазонах $V(\lambda_c)$. Основательность подобных опасений подтвердим на примере «бесконечной» области с летящими ОЭМ-электронами. Проблему устойчивости рассмотрим на базе уравнений (1)–(3), которые дополним уравнением непрерывности потока j

$$\frac{\partial n_1}{\partial t} + \frac{\partial j}{\partial x} = 0. \quad (30)$$

Кроме этого модифицируем уравнение (4)

$$\frac{\partial p}{\partial t} + v(p) \frac{\partial p}{\partial x} = eE. \quad (31)$$

Записывая все известные величины A ($E, n_{1,2}, j, p$) в виде стационарных значений $A^{(0)}(x)$ и малых нестационарных добавок $A^{(1)}(x, t)$ и линеаризуя уравнения относительно этих малых добавок, получим в однопоточных областях (где $n = n_1, n_2 = 0$)

$$\frac{\partial E^{(1)}}{\partial t} + v^{(0)} \frac{\partial E^{(1)}}{\partial x} + \frac{e}{\kappa} \frac{\partial^2 \varepsilon^{(0)}}{\partial p^2} n^{(0)} p^{(1)} = \frac{e}{\kappa} I(t), \quad (32)$$

$$\frac{\partial p^{(1)}}{\partial t} + v^{(0)} \frac{\partial p^{(1)}}{\partial x} + \frac{\partial^2 \varepsilon^{(0)}}{\partial p^2} \frac{\partial p^{(0)}}{\partial x} p^{(1)} = eE^{(1)}, \quad (33)$$

где $eI(t)$ — полный ток через диод, являющийся суммой тока, переносимого электронами, и тока смещения. Этот ток можно связать с добавкой напряжения на отрезке $\int E^{(1)} dx$ (где интеграл взят по полной длине образца l) с помощью линейного внешнего сопротивления Z . Если длина l удовлетворяет условию $k_c l \gg 1$, где k_c — некоторый характерный волновой вектор добавок, то величиной $I(t)$ можно пренебречь практически для всех нагрузок Z , исключая лишь режим короткого замыкания. Если положить на всей актуальной длине образца $v^{(0)} = v_c = \text{const}$, $p^{(0)} = p_c = \text{const}$, $\partial^2 \varepsilon^{(0)} / \partial p^2 = -1/m_c = \text{const}$, $n^{(0)} = n_0 = \text{const}$, то, задавая $A^{(1)}(x, t)$ в виде $A^{(1)} \exp(ikx - i\omega t)$, имеем

$$E^{(1)}(i\omega - iv_c k) + \frac{e}{\kappa} \frac{n_0}{m_c} p^{(1)} = 0,$$

$$p^{(1)}(i\omega - iv_c k) + eE^{(1)} = 0,$$

так что дисперсионное уравнение имеет вид

$$(\omega - v_c k)^2 + \frac{\epsilon^2 n_0}{\kappa m_c} = 0, \quad (34)$$

откуда следует

$$\omega = v_c k \pm i\omega_c, \quad (35)$$

где $\omega_c^2 = e^2 n_0 / \kappa m_c$ — квадрат плазменной частоты, определяемой ОЭМ-электронами. Из (35) следует, что однородное состояние столба с ОЭМ-электронами неустойчиво во всем диапазоне k , описываемом дисперсионным уравнением (34). Согласно правилам Стэррока [6,7], данная неустойчивость является конвективной (свободной) и приводит к усилению колебаний при распространении электрической волны от катода к аноду.

4. В заключение повторим два главных результата настоящего сообщения.

а) Наличие интервала ОЭМ в законе $\epsilon(p)$ приведет не к участку с отрицательной дифференциальной проводимостью N -типа, как утверждалось в [1], а к протяженному участку насыщения тока. При этом распределение электронов в разных диапазонах напряжений характеризуется не одним, а сразу двумя слоями пространственного заряда и двумя областями квазинейтральности.

б) Доминирующей деталью электронного распределения на участке насыщения тока является квазинейтральный слой (столб) с ОЭМ-электронами. Флуктуации концентрации электронов в этом слое, сопровождаемые флуктуативными электрическими полями, по мере их сноса к аноду неограниченно растут, приводя к конвективной неустойчивости стационарного распределения.

Решение задачи об импедансе диода с ОЭМ-электронами, а также о глобальной устойчивости (или неустойчивости) стационарного решения в таком диоде при заданной внешней нагрузке требует более детального описания как закона $\epsilon(p)$, так и механизма получения $\epsilon(p)$.

Список литературы

- [1] З.С. Грибников. ФТП, 28 (1994).
- [2] Г.Л. Бир, Г.Е. Пикус. *Симметрия и деформационные эффекты в полупроводниках* (Наука, М., 1972).
- [3] М.Е. Raikh, E.V. Tsiper. Proc. 1993 Int. Semicond. Dev. Res. Symp. (1993) v. 2, p. 577.
- [4] Н.А. Баннов, В.И. Рыжий, В.А. Федирко. ФТП, 17, 57 (1983).
- [5] В.И. Рыжий, Н.А. Баннов, В.А. Федирко. ФТП, 18, 769 (1984).
- [6] А.И. Ахиезер, Р.В. Половин. УФН, 104, 185 (1971).
- [7] Электродинамика плазмы, под ред. А.И. Ахиезера (М.: Наука, 1974).

Редактор Л.В. Шаронова

Ballistic Injection of Electrons Having Negative Effective Masses

Z.S.Gribnikov and A.N.Korshak

Institute of Physics of Semiconductors of the Academy of Sciences of Ukraine 252650,
Kiev, The Ukraine